



第二回 若手による重力・宇宙論研究会

2018年3月4日 11:15 - 12:00

重力波伝搬を用いた宇宙論的スケール の重力理論の検証

新居 舜 (名古屋大学 宇宙論研究室(C研))

[SA](#) and A.Nishizawa. arXiv:1711.03776

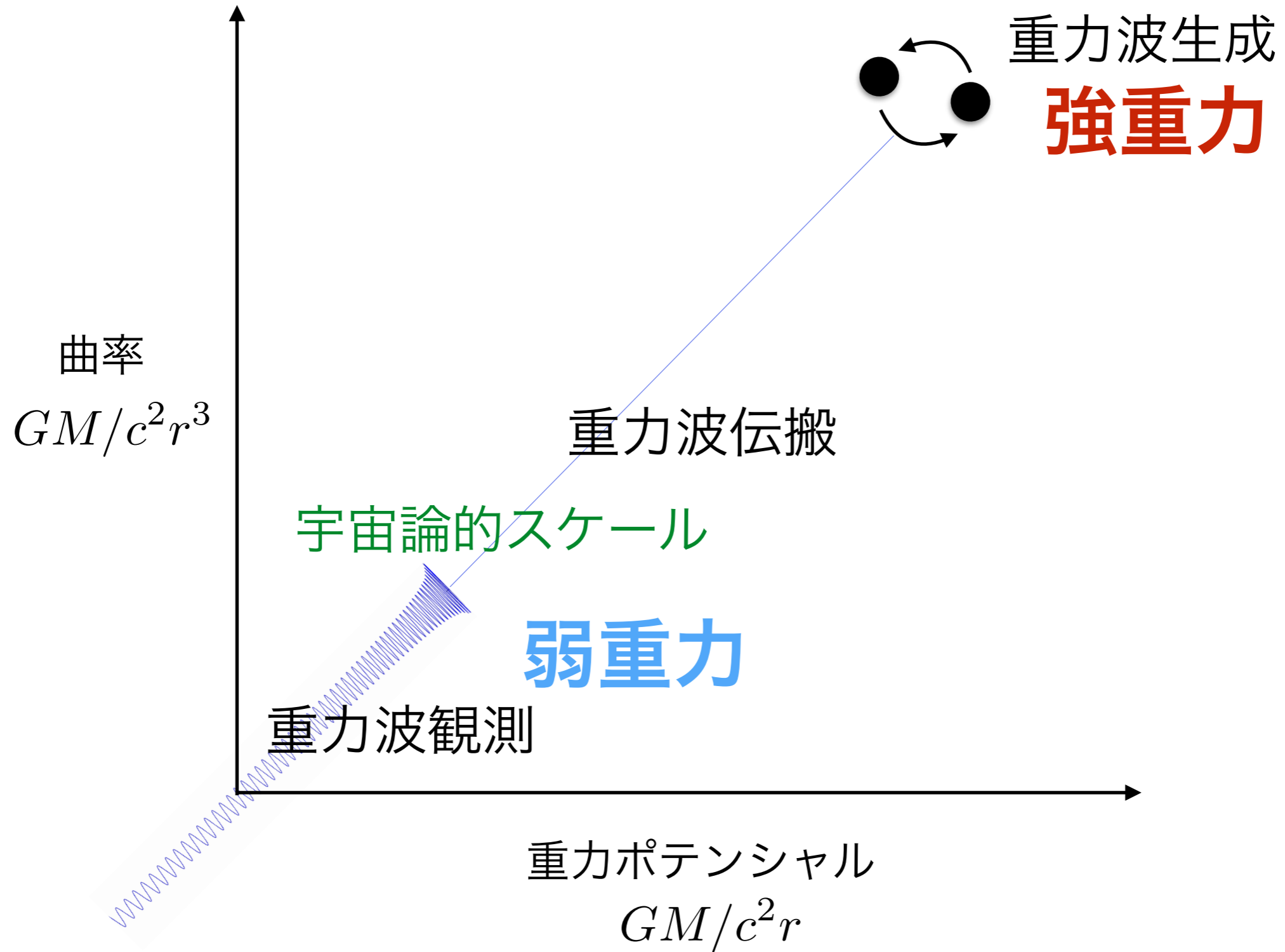
[SA](#) and K.Ichiki, and M.Yamaguchi in progresss

- イントロダクション
- 重力波伝搬を用いた修正重力理論の制限
GW170817/GRB170817Aからの制限
- 観測量パラメータ同士の相関
観測量空間におけるモデルの分類
- まとめと今後の議論

重力理論の検証の必要性

- 宇宙の加速膨張の起源の解明 local or cosmological?
- 修正重力理論のモデルの区別
- 高エネルギー領域(初期宇宙、 $r < 0.1\text{mm}$)において
重力理論は未検証

イントロダクション



重力波伝搬を用いる利点

- 宇宙論的スケールで重力固有の性質を直接観測できる

強重力 ——— インスパイラル/リングダウン

重力波の伝搬 ——— **standard siren/arrival time difference**

D. E. Holz and S. A. Hughes, PRL 2005 C. Will Living Rev. 2006

- 宇宙論モデルの検証が可能

他の観測の事前分布によらない独立な制限

(例) 宇宙膨張率の測定 [Nature GW170817](#)

- イベントレートは統計的に十分

100 - 1000 yr⁻¹

1000 yr⁻¹ HLVK ネットワーク

HLVK : Hanford/Livingston/VIRGO/KAGRA

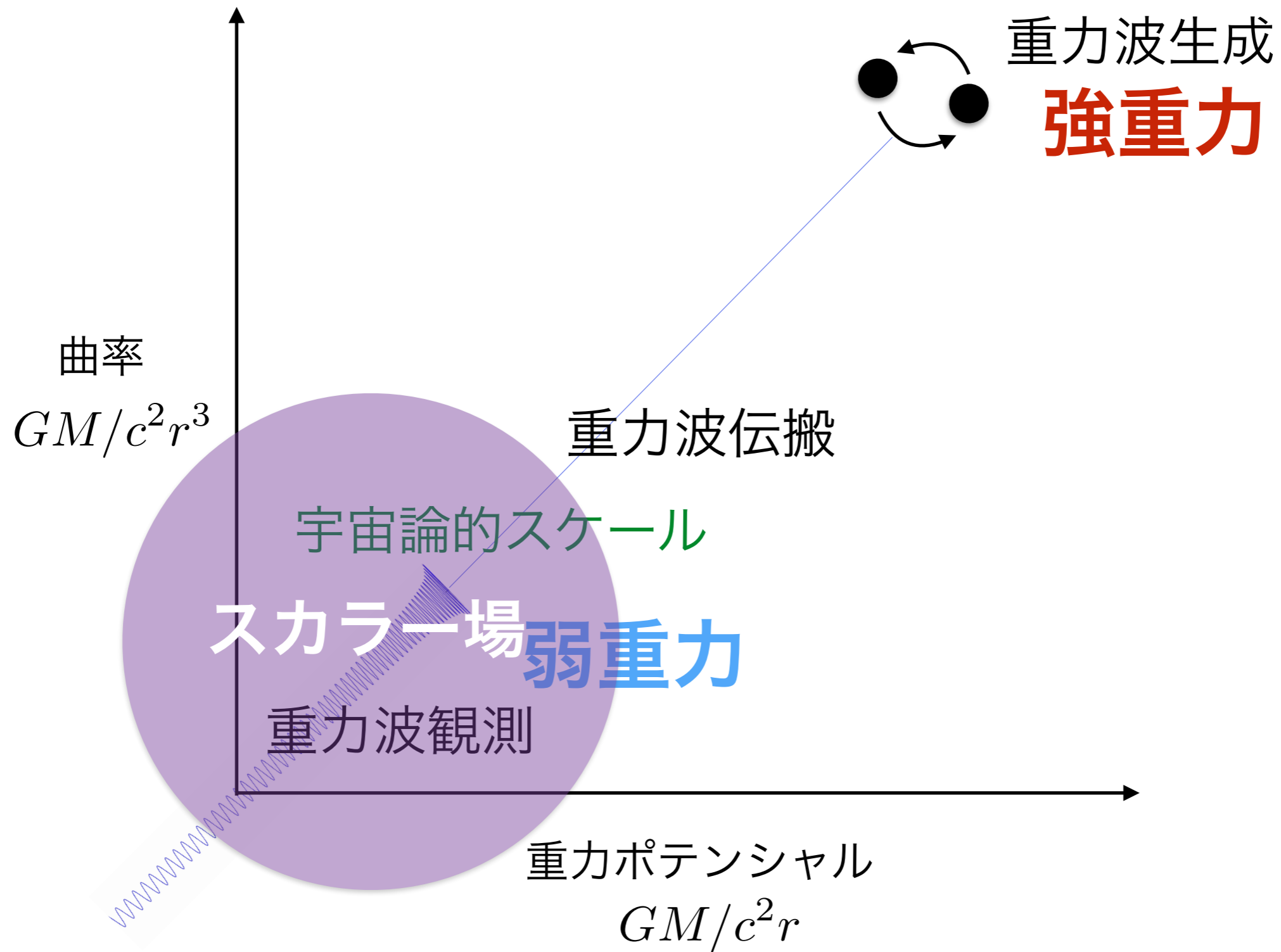
重力波伝搬は大スケールでの重力法則の探索に有効

修正された重力波の伝搬

I. D. Saltas et. al PRL 2014
A.Nishizawa arXiv:1710.04825

$$h''_{ij} + (2 + \nu)\mathcal{H}h'_{ij} + (c_T^2 k^2 + a^2 \mu^2)h_{ij} = a^2 \Gamma \gamma_{ij}$$

	パラメータが記述する物理量	関連する物理
ν	修正プランク質量の時間変化	重力定数の時間変化
c_T	重力波の位相速度	Lorentz対称性/等価原理
μ	重力子の質量	有質量重力理論
Γ	外部の重力波源	物質場との非最小結合



宇宙論的な場合の観測量

A.Nishizawa arXiv:1710.04825

$$\text{重力波源なし} \longrightarrow \Gamma = 0$$

$$h = \mathcal{C}_{\text{MG}} h_{\text{GR}} \quad \mathcal{C}_{\text{MG}} \equiv e^{-\mathcal{D}} e^{\mp ik\Delta T}$$

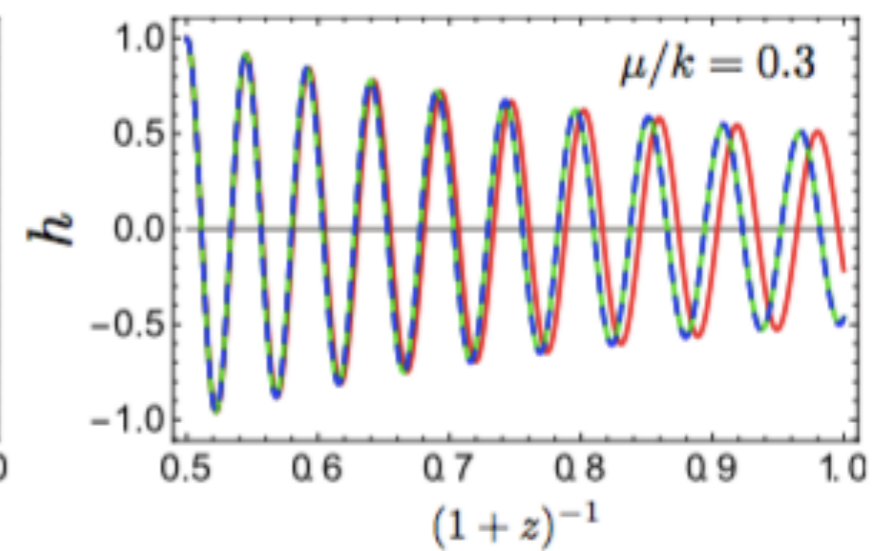
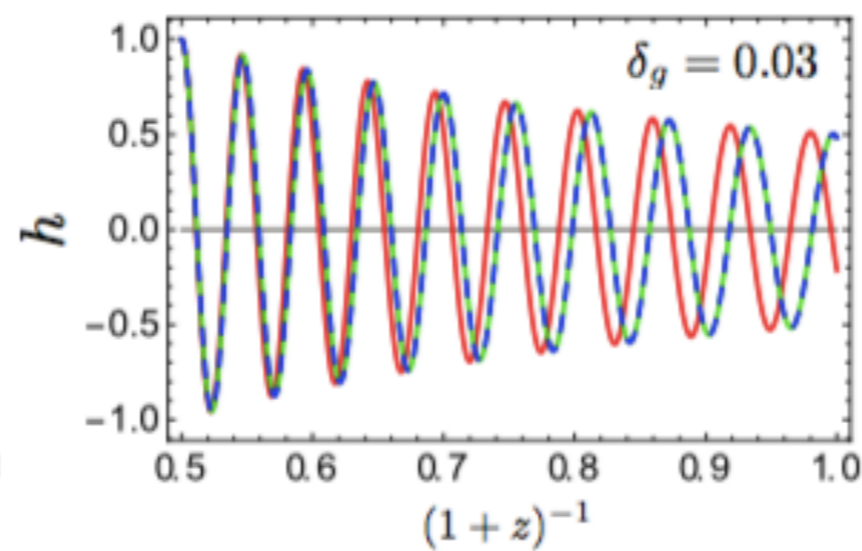
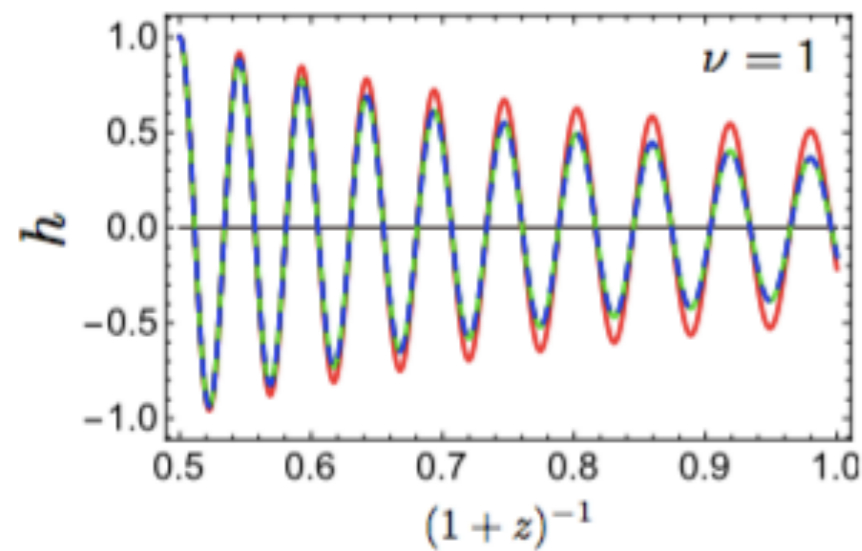
振幅 $\mathcal{D} \equiv \frac{1}{2} \int^{\tau} d\tau' \nu \mathcal{H}$

位相 $\Delta T \equiv \int^{\tau} d\tau' \left\{ (1 - c_T) - \frac{a^2 \mu^2}{2k^2} \right\}$

τ : 共形時間

宇宙論的な場合の観測量

A.Nishizawa arXiv:1710.04825



low z における重力波伝搬の観測量

SA and A.Nishizawa. arXiv:1711.03776

$$\mathcal{D} \equiv \frac{1}{2} \int^{\tau} d\tau' \nu \mathcal{H} \quad \Delta T \equiv \int^{\tau} d\tau' \frac{(1 - c_T)}{\delta_g}$$

$$\nu \simeq \nu_0 - \nu_1 H_0 t_{LB} \quad \delta_g \simeq \delta_{g0} - \delta_{g1} H_0 t_{LB}$$

$$\nu_0 = \alpha_{M,0} \quad \nu_1 = \frac{\dot{\alpha}_{M,0}}{H_0} \quad \delta_{g0} = -\frac{\alpha_{T,0}}{2} \quad \delta_{g1} = -\frac{\dot{\alpha}_{T,0}}{2H_0}$$

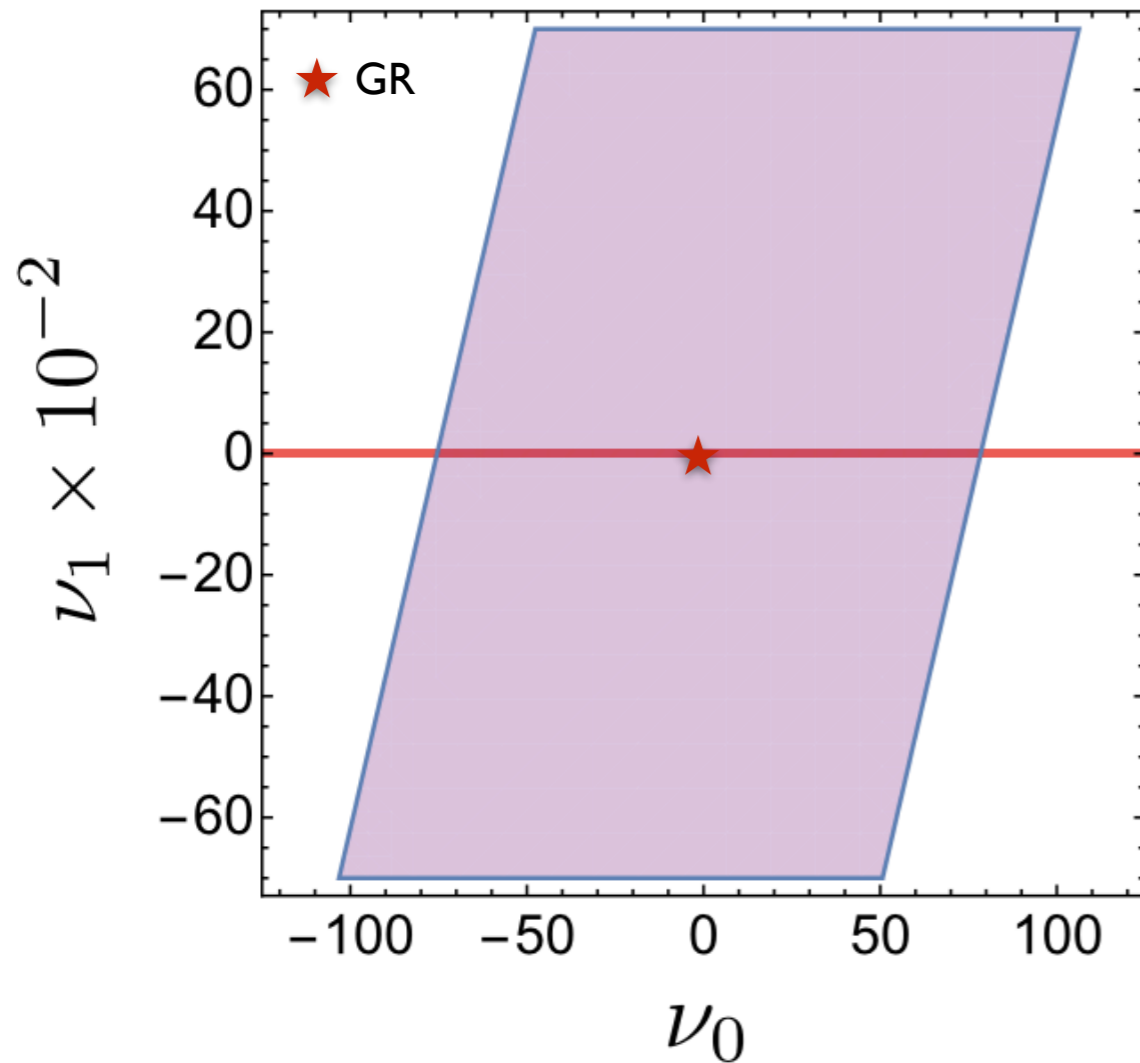
$$\mathcal{D} \simeq \frac{1}{2} \left\{ \nu_0 \ln(1+z) - \frac{\nu_1}{2} (H_0 t_{LB})^2 \right\}$$

$$\Delta T \simeq \frac{1}{H_0} \left\{ \delta_{g0} H_0 t_{LB} - \frac{\delta_{g1}}{2} (H_0 t_{LB})^2 \right\}$$

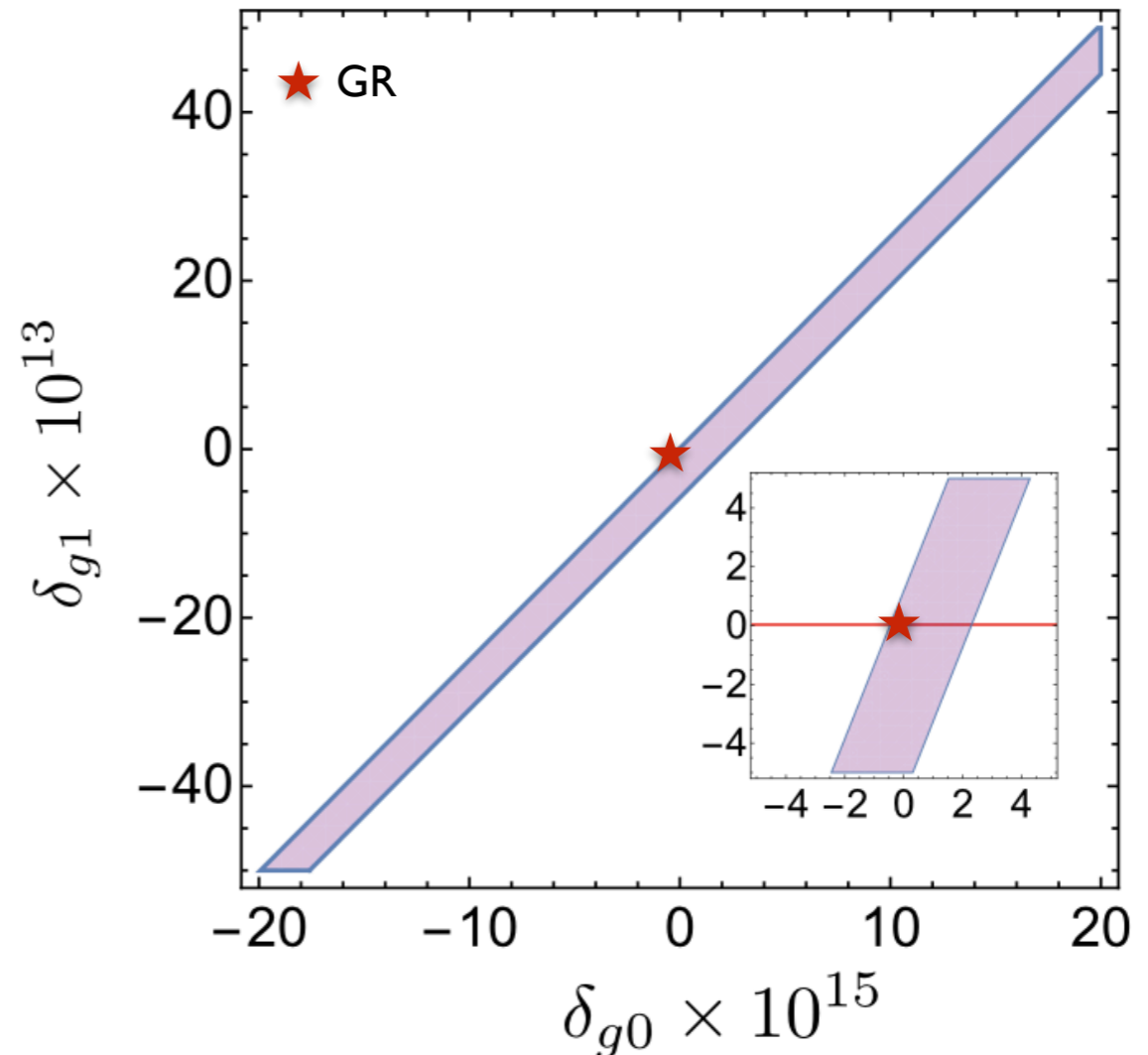
$H_0 t_{LB} \simeq d_L$

GW170817とGRB170817Aによる観測的制限

SA and A.Nishizawa. arXiv:1711.03776



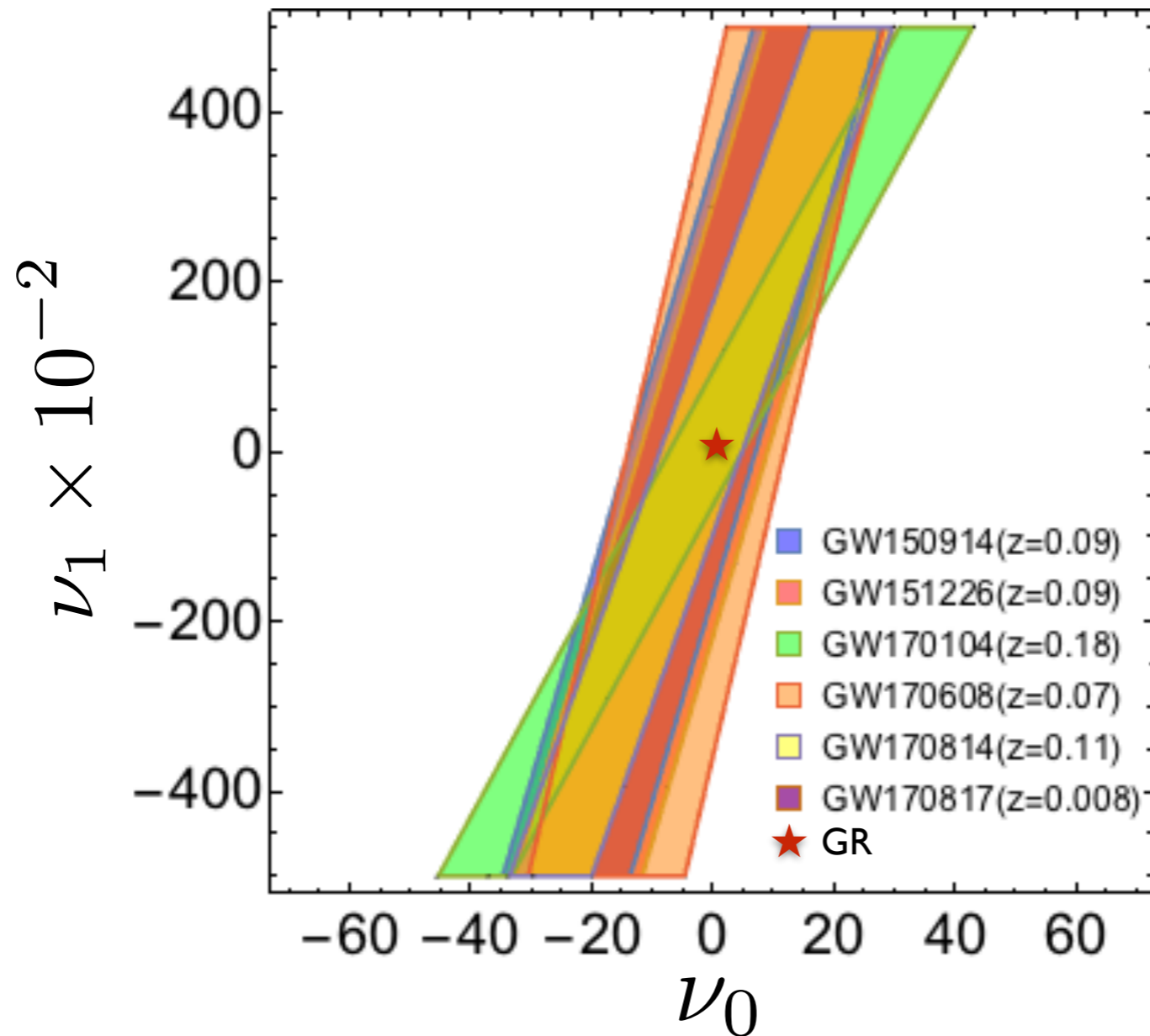
$$-75.3 \leq \nu_0 \leq 78.4$$



$$-4.7 \times 10^{-16} \leq \delta_{g0} \leq 2.2 \times 10^{-15}$$

$d_{L,GR}$ は Planck2015 の best fit

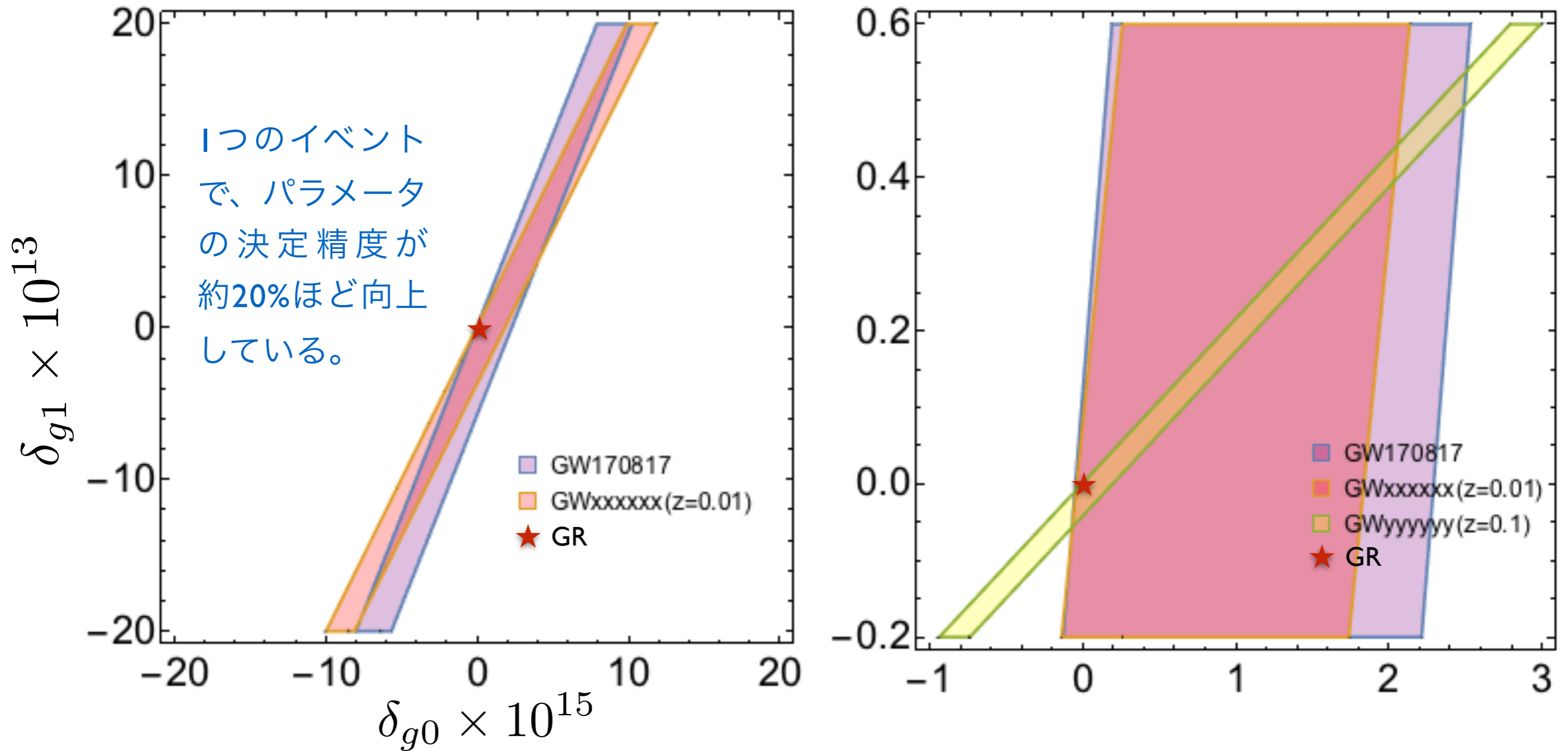
多数の重力波観測の重要性①



重力定数の時間進化がわかれば、伝搬速度の観測と組み合わせてGRの検証ができる。

※他の方法で赤方偏移を決定しなければならない。

多数の重力波観測の重要性②



複数のNS-NSまたはNS-BHでGWとEMが同時観測されると、
モデルの制限がより厳しくなる。

- ・ イントロダクション
- ・ 重力波伝搬を用いた修正重力理論の制限
GW170817/GRB170817Aからの制限
- ・ 観測パラメータ同士の相関
観測量空間におけるモデルの分類
- ・ まとめと今後の議論

宇宙論的観測による重力理論の制限

	モデルパラメータ	観測量
Λ CDM	$\Omega_{m0} \quad \Omega_{\Lambda0} \quad \Omega_{K0} \quad H_0$ $(n_s \quad A_s \quad \tau \quad \Omega_{b,0})$	$z \quad H(z)$ $d_L(z) \quad d_A(z)$ $r_{\text{BAO}} \quad D \propto \Omega_{m0}^\gamma$
MG	任意関数の関数形 $\sim \infty$	$+ f_{\text{NL}}, g_{\text{NL}}, \tau_{\text{NL}}$ $G_{\text{eff}}(z) \quad c_T(z)$

射影効果で縮退

複数の観測データを組み合わせてシグナルを得たとしても、モデルが縮退している。

例：ホルンデスキ理論

G. Horndeski, 1974

T. Kobayashi, M. Yamaguchi, and J. Yokoyama 2011

$$S_{\text{Horn}} = \int d^4x \sqrt{-g} \sum_{i=2}^5 \mathcal{L}_i$$

$$\mathcal{L}_2 = K(\phi, X),$$

$$\mathcal{L}_3 = -G_3(\phi, X) \square \phi,$$

$$\mathcal{L}_4 = G_4(\phi, X) R + G_{4X}(\phi, X) [(\square \phi)^2 - \phi_{;\mu\nu} \phi^{;\mu\nu}], \quad X \equiv -\phi^{;\mu} \phi_{;\mu} / 2$$

$$\mathcal{L}_5 = G_5(\phi, X) G_{\mu\nu} \phi^{;\mu\nu} - \frac{1}{6} G_{5X}(\phi, X) [(\square \phi)^3 + 2\phi_{;\mu}{}^\nu \phi_{;\nu}{}^\alpha \phi_{;\alpha}{}^\mu - 3\phi_{;\mu\nu} \phi^{;\mu\nu} \square \phi]$$

- ・ スカラー自由度を持つ一般的な理論 (※2階微分まで)
- ・ 現象論的には宇宙の加速膨張を説明できる。

数値的パラメトリゼーション

SA and A.Nishizawa. arXiv:1711.03776

- $\phi(t)$ の時間変化

$$\phi(t) = M_\phi \left\{ a_0 + a_1 H_0 t_{LB} + \frac{a_2}{2} (H_0 t_{LB})^2 \right\}$$

$a_0 \equiv 0$

$$t_{LB} \equiv \int_0^z \frac{dz'}{H_{\Lambda\text{CDM}}(z') \cdot (1+z')}$$

$$H_{\Lambda\text{CDM}}(z) = H_0 \left\{ \Omega_{m0}(1+z)^3 + 1 - \Omega_{m0} \right\}^{1/2}$$

Planck 2015 best-fit : $H_0 = 67.8 \text{ km} \cdot \text{s}^{-1} \text{Mpc}^{-1}$ $\Omega_{m0} = 0.3080$
P.Ade. Planck2015

- ホルンデスキ G 関数のTaylor展開

$$G_i^{(\text{app})} \supset \phi, X, \phi X, \phi^2, X^2 (i = 2, 3, 4, 5)$$

$$g_{i\rho}, g_{i\rho\sigma} (\rho, \sigma = \phi \text{ or } X)$$

- Jordan frame、物質とはminimal coupling

モデル分類の条件

SA and A.Nishizawa. arXiv:1711.03776

I. Consistency

$$|1 - H/H_{\Lambda CDM}| < \Delta H_{\text{obs}}/H_{\text{obs}}$$

$$\frac{\Delta H_{\text{obs}}}{H_{\text{obs}}} \equiv 20\%$$

N.B. 事前分布は仮定していないが、
Hubbleパラメータの測定誤差は約20%

c.f. Simon et al. (2005) Moresco et al. (2012)
Zhang et al. (2012)

2. Stability

摂動不安定性の除去 $Q_{\sigma} > 0, c_{\sigma}^2 > 0$

$$S^{(2)} = \int dt d^3x \sum_{\sigma=\text{scalar, tensor}} \{Q_{\sigma} \dot{\sigma}^2 - c_{\sigma}^2 (\partial\sigma)^2\}$$

1,000,000個の異なるモデルをモンテカルロ的に生成

ν & c_T -ホルンデスキ理論の場合-

T. Kobayashi, M. Yamaguchi, and J. Yokoyama 2011
E. Bellini & I. Sawicky JCAP 2014

$$M_*^2 \equiv 2(G_4 - 2XG_{4X} + XG_{5\phi} - \dot{\phi}HXG_{5X})$$

$$\nu \equiv \frac{1}{M_*^2 H} \frac{dM_*^2}{dt}$$

$$dt = a d\tau$$

$$\dot{A} \equiv \frac{dA}{dt}$$

$$H = \mathcal{H}/a$$

$$M_*^2 (c_T^2 - 1) \equiv 2X \left(2G_{4X} - 2G_{5\phi} - (\ddot{\phi} - \dot{\phi}H)G_{5X} \right)$$

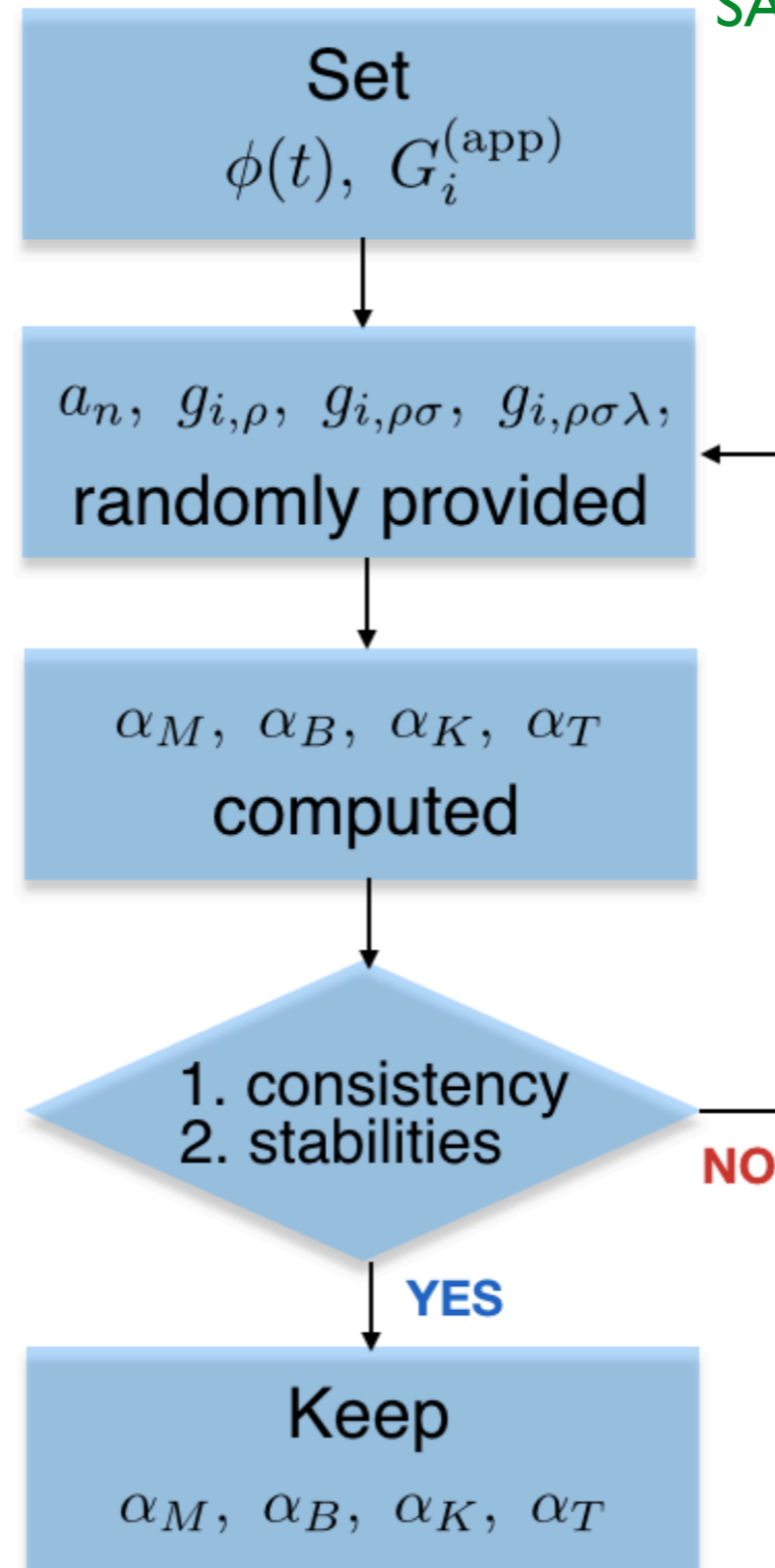
$$\alpha_M = \nu \quad \alpha_T = c_T^2 - 1$$

$$\mu = 0$$

G_4, G_5 の関数形、 ϕ の時間変化によっている

モンテカルロ法によるモデル分類の手順

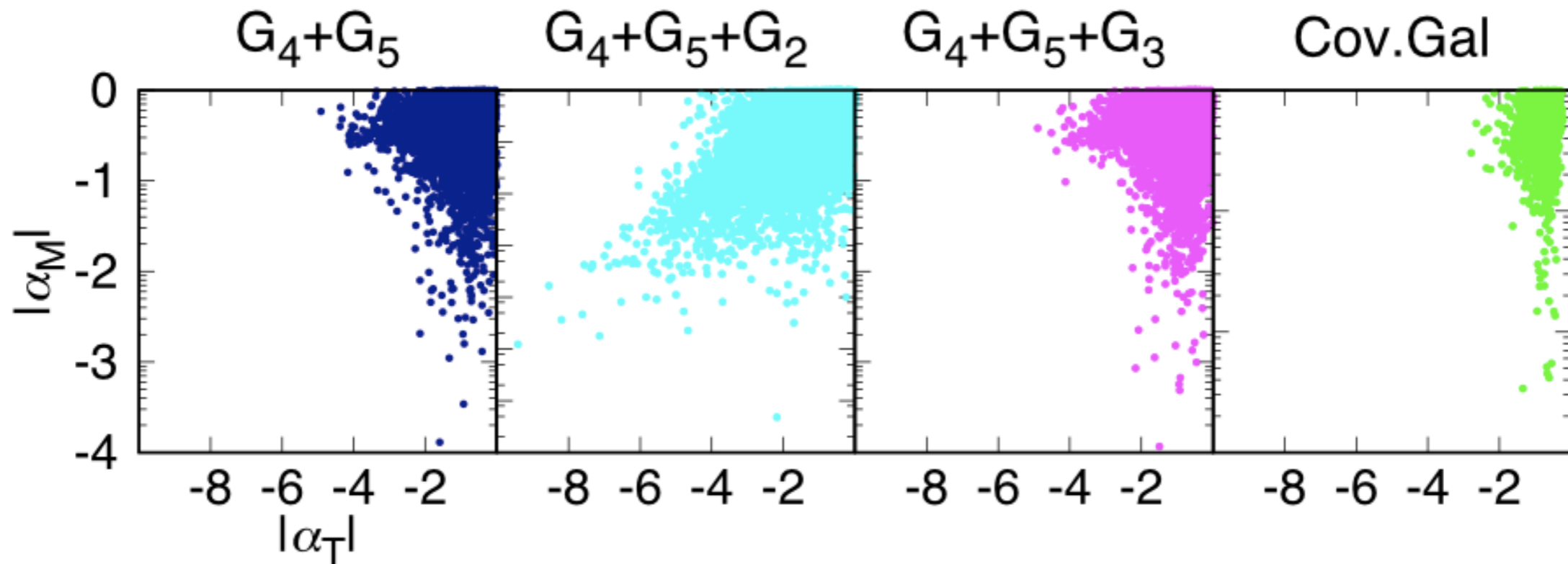
SA and A.Nishizawa. arXiv:1711.03776



モデルの分類

SA and A.Nishizawa. arXiv:1711.03776

Subclass of Horndeski theory	Parameters of $G_i^{(app)}$	Models
(I) $G_4 + G_5$	$G_2, G_3 = 0$	self acceleration
(II) $G_4 + G_5 + G_2$	$g_2, g_{2X}, g_{2\phi\phi} \neq 0$	quintessence/nonlinear kinetic theory $f(R)$ theories
(III) $G_4 + G_5 + G_3$	$G_3 \neq 0$	cubic galileons
(IV) Cov.Gal	$g_{2X}, g_{3X}, g_{4XX}, g_{5XX} \neq 0$	covariant Galileons



α_M と α_T が大きい傾向がある L.Lombriser and A.Taylor JCAP 03 031 2016

加速膨張の仕組み

- ポテンシャル項支配型 e.g. quintessence

$$\int d^4x \sqrt{-g} \left\{ \frac{M_{\text{pl}}^2}{2} R + V(\phi) \right\}$$

- 運動項支配型 e.g. k-essence

$$\int d^4x \sqrt{-g} \left\{ \frac{M_{\text{pl}}^2}{2} R + K(X) \right\}$$

N.B. non linearity of $K(X)$ is necessary

- 共形結合型 (self acceleration)

$$\int d^4x \sqrt{-g} \left\{ \frac{M^2(t) c_T^2(t)}{2} R + \dots \right\}$$

修正重力理論特有の加速膨張

Jordan frameで

$$S_{\text{Horn}} = \int d^4x \sqrt{-g} \frac{M_*^2(t) c_T^2(t)}{2} R + \dots$$

$$\Omega(t) \quad \nu \equiv \frac{1}{M_*^2 H} \frac{dM_*^2}{dt}$$

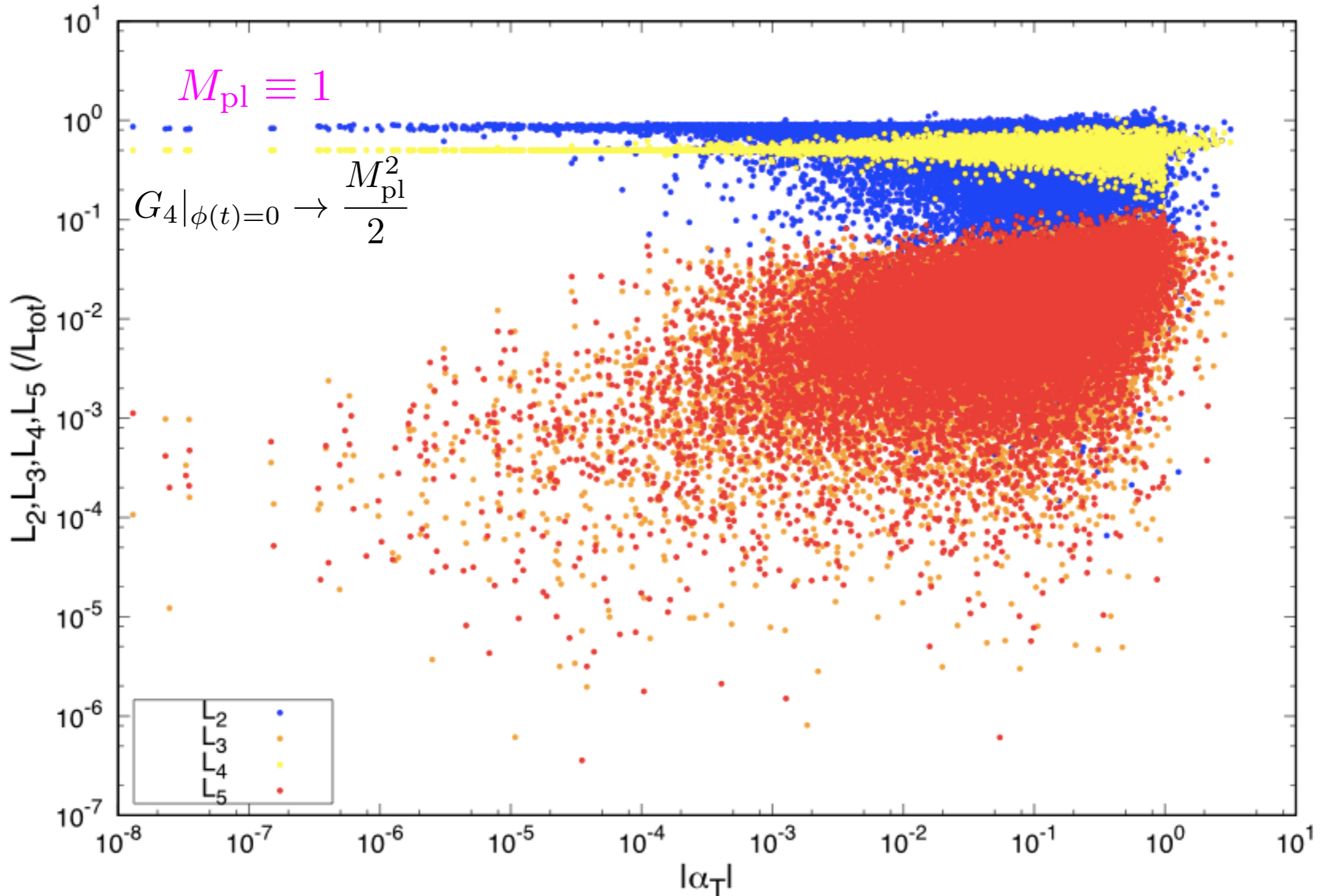
G.Gubitosi et al. 2013 J.Gleyzes et al. 2013

加速膨張の条件(解析的)

$$\left| \frac{\dot{\Omega}(t)}{H\Omega(t)} \right| \gtrsim 1 \quad \frac{\dot{\Omega}(t)}{H\Omega(t)} = \nu + \frac{\dot{c}_T}{H c_T}$$

L.Lombriser & A.Taylor JCAP 2016

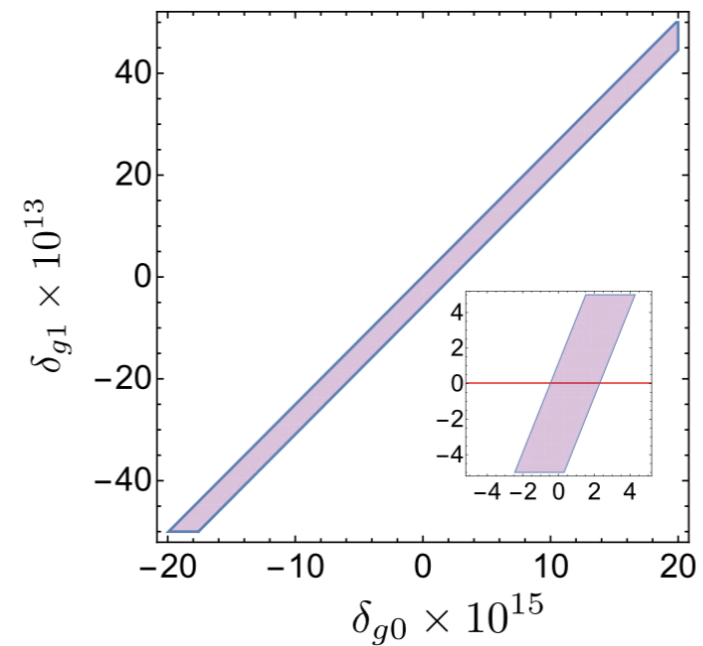
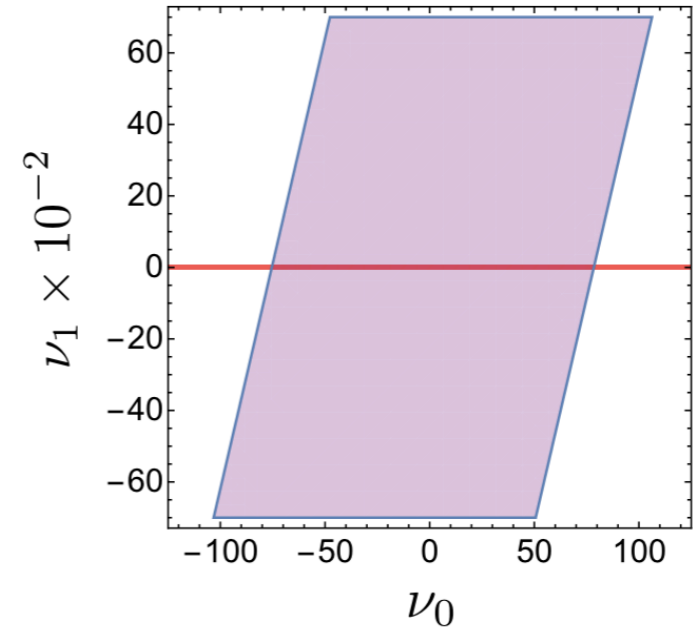
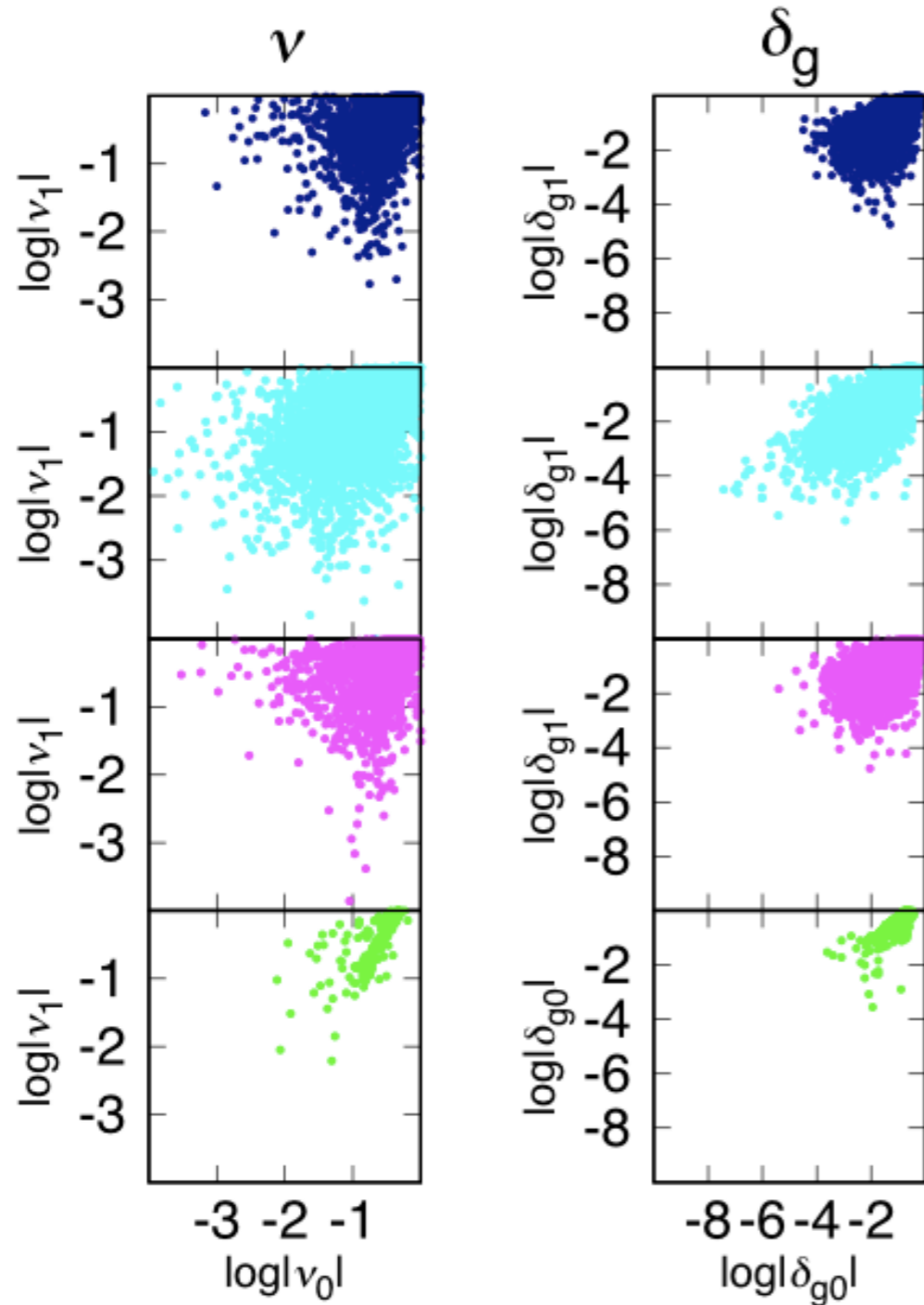
加速膨張の起源 (エネルギーの構成要素)



α_T の値で加速膨張の起源を明らかにできる。

GW170817とGRB170817Aによる観測的制限

SA and A.Nishizawa. arXiv:1711.03776

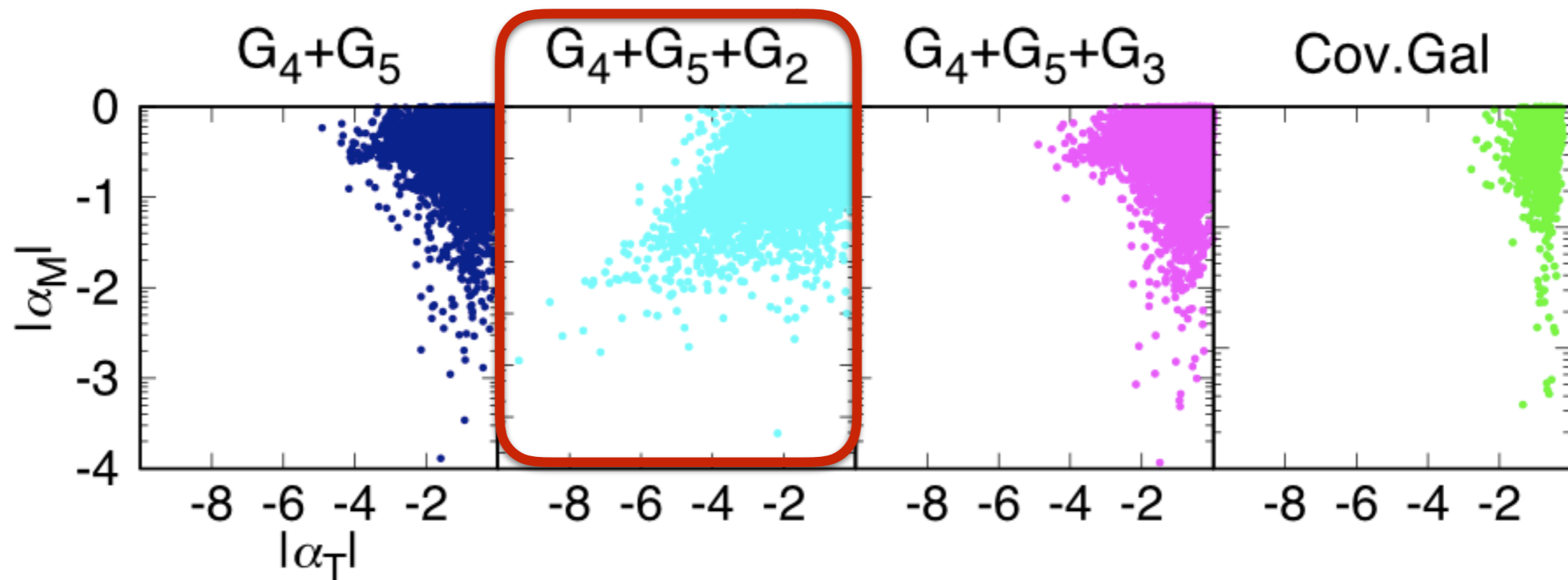


伝搬速度の測定から、 G_4, G_5 に対して厳しい制限

GW170817の観測の後に生き残っているモデル

SA and A.Nishizawa. arXiv:1711.03776

Subclass of Horndeski theory	Parameters of $G_i^{(app)}$	Models
(I) $G_4 + G_5$	$G_2, G_3 = 0$	self acceleration
(II) $G_4 + G_5 + G_2$	$g_2, g_{2X}, g_{2\phi\phi} \neq 0$	quintessence/nonlinear kinetic theory $f(R)$ theories
(III) $G_4 + G_5 + G_3$	$G_3 \neq 0$	cubic galileons
(IV) Cov.Gal	$g_{2X}, g_{3X}, g_{4XX}, g_{5XX} \neq 0$	covariant Galileons



$\alpha_T=0$ にあるモデルは制限できないので、 α_M の観測が必要

- 重力波伝搬には、宇宙論的距離での修正重力理論の効果が現れる。
 → 強重力場における制限と相補的
- 重力波伝搬の観測から得られる修正重力理論のパラメータの相関を、モンテカルロ法により数値実験して調査した。
 (例) ホルンデスキ理論
- G_4 , または G_5 が加速膨張を引き起こすモデルをサンプリングすると、伝搬速度のズレは 10^{-8} より大きくなる。
- **GW170817とGRB170817Aの同時観測により、 G_4 または G_5 は加速膨張を引き起こす主要因ではない。 G_2 で加速膨張が起きている。**



重力波伝搬は重力理論を峻別する強力な手段

これから議論したいこと

- 加速膨張のモデルへのさらなる現象論制限

SA, K.Ichiki, and M.Yamaguchi in progresss

- 重力定数の時間変化への制限

SA, J.Ooba, and A. Nishizawa in progresss

- 高階重力理論の検証

(ホルンデスキ理論と優位に区別できるか?)

- 重力波生成時の振幅と位相の不定性

e.g. 連星の軌道が進化する際のfifth forceの影響

- ???

これから議論したいこと

- 加速膨張のモデルへのさらなる現象論制限

SA, K.Ichiki, and M.Yamaguchi in progresss

- 重力定数の時間変化への制限

SA, J.Ooba, and A. Nishizawa in progresss

- 高階重力理論の検証

(ホルンデスキ理論と優位に区別できるか?)

- 重力波生成時の振幅と位相の不定性

e.g. 連星の軌道が進化する際のfifth forceの影響

- ???

加速膨張のモデル

Friedmann equations:

$$3M_*^2 H^2 = \mathcal{E} \quad M_*^2 (2\dot{H} + 3H^2) = -\mathcal{E} - \mathcal{P}$$

$$M_*^2 \equiv 2(G_4 - 2XG_{4X} + XG_{5\phi} - \dot{\phi}HXG_{5X})$$

$$\begin{aligned} \mathcal{E} \equiv & -G_2 + 2X(G_{2X} - G_{3\phi}) + 6\dot{\phi}H(XG_{3X} - G_{4\phi} - 2XG_{4\phi X}) \\ & + 12H^2X(G_{4X} + 2XG_{4XX} - G_{5\phi} - XG_{5\phi X}) + 4\dot{\phi}H^3X(G_{5X} + XG_{5XX}) \end{aligned}$$

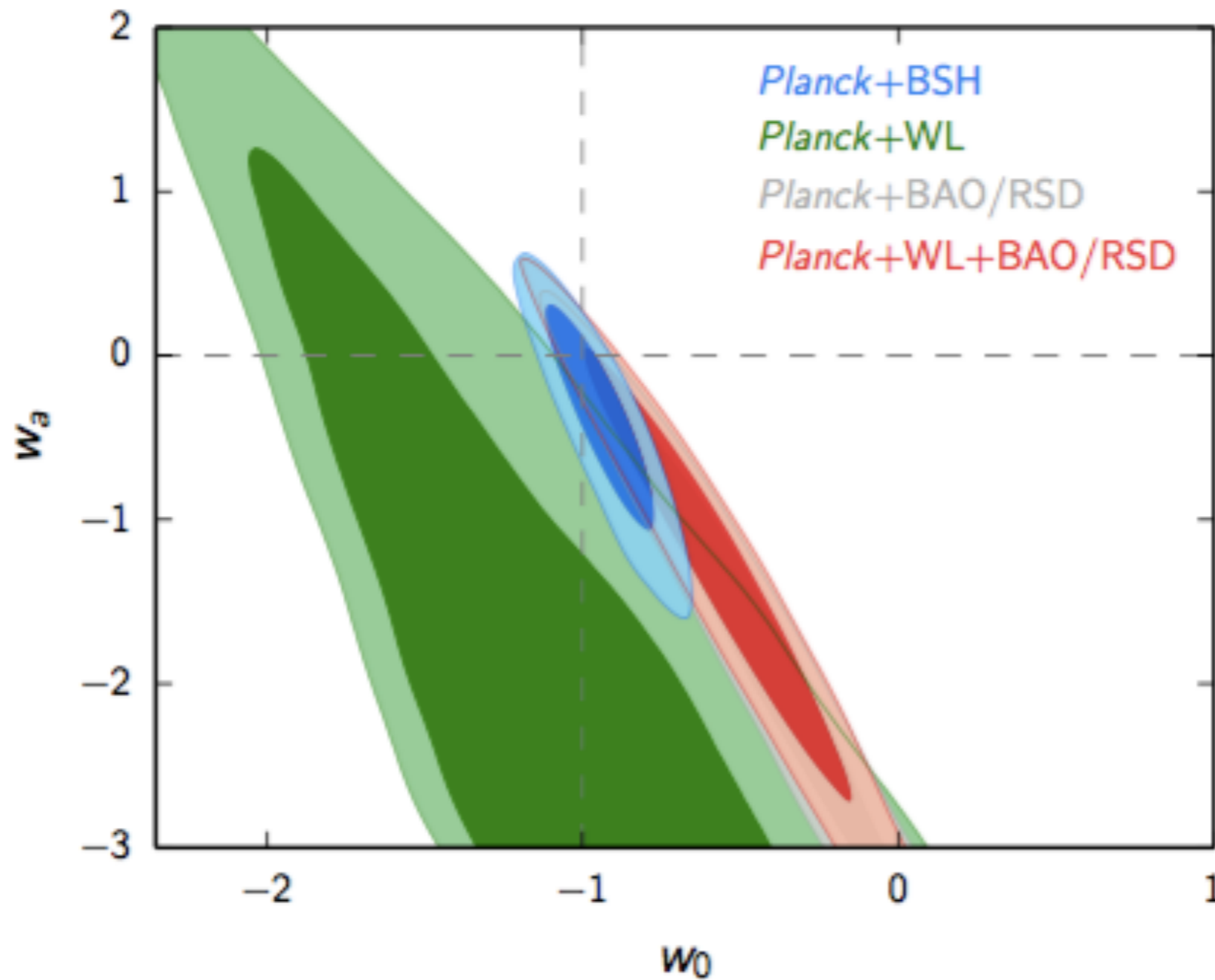
$$\begin{aligned} \mathcal{P} \equiv & K - 2X(G_{3\phi} - 2G_{4\phi\phi}) + 4\dot{\phi}H(G_{4\phi} - 2XG_{4\phi X} + XG_{5\phi\phi}) \\ & - M_*^2 \alpha_B H \frac{\ddot{\phi}}{\dot{\phi}} - 4H^2X^2G_{5\phi X} + 2\dot{\phi}H^3XG_{5X} \end{aligned}$$

$$\begin{aligned} HM_*^2 \alpha_B \equiv & 2\dot{\phi}(XG_{3X} - G_{4\phi} - 2XG_{4\phi X}) \\ & + 8XH(G_{4X} + 2XG_{4XX} - G_{5\phi} - XG_{5\phi X}) \\ & + 2\dot{\phi}XH^2(3G_{5X} + 2XG_{5XX}) \end{aligned}$$

加速膨張への制限

P.Ade et al. 2016

$$w = w_0 + w_a(1 - a)$$



e.g. Quintessence

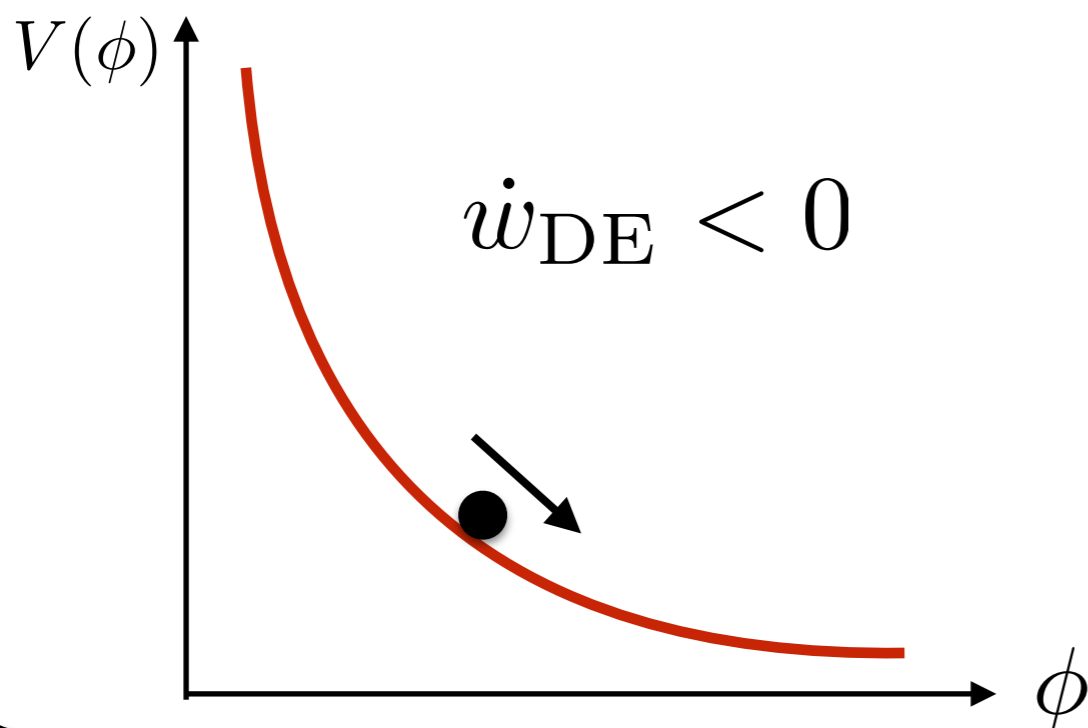
$$G_2 = X - V(\phi) \quad G_4 = \frac{M_{\text{pl}}^2}{2} \quad G_3 = G_5 = 0$$

Friedmann equations:

$$3M_{\text{pl}}^2 H^2 = X + V(\phi) \quad M_{\text{pl}}^2 \dot{H} = X > 0$$

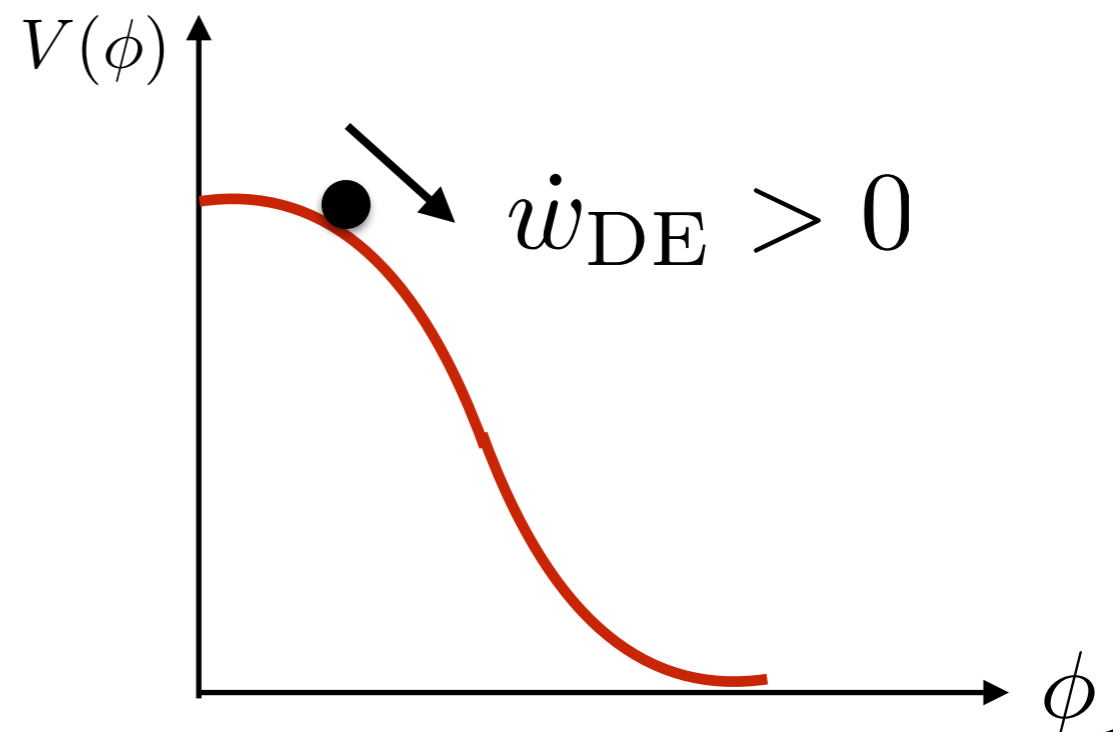
Freezing model

e.g. $V(\phi) = M^{4+p} \left(\frac{\phi}{M}\right)^{-p}$



Thawing model

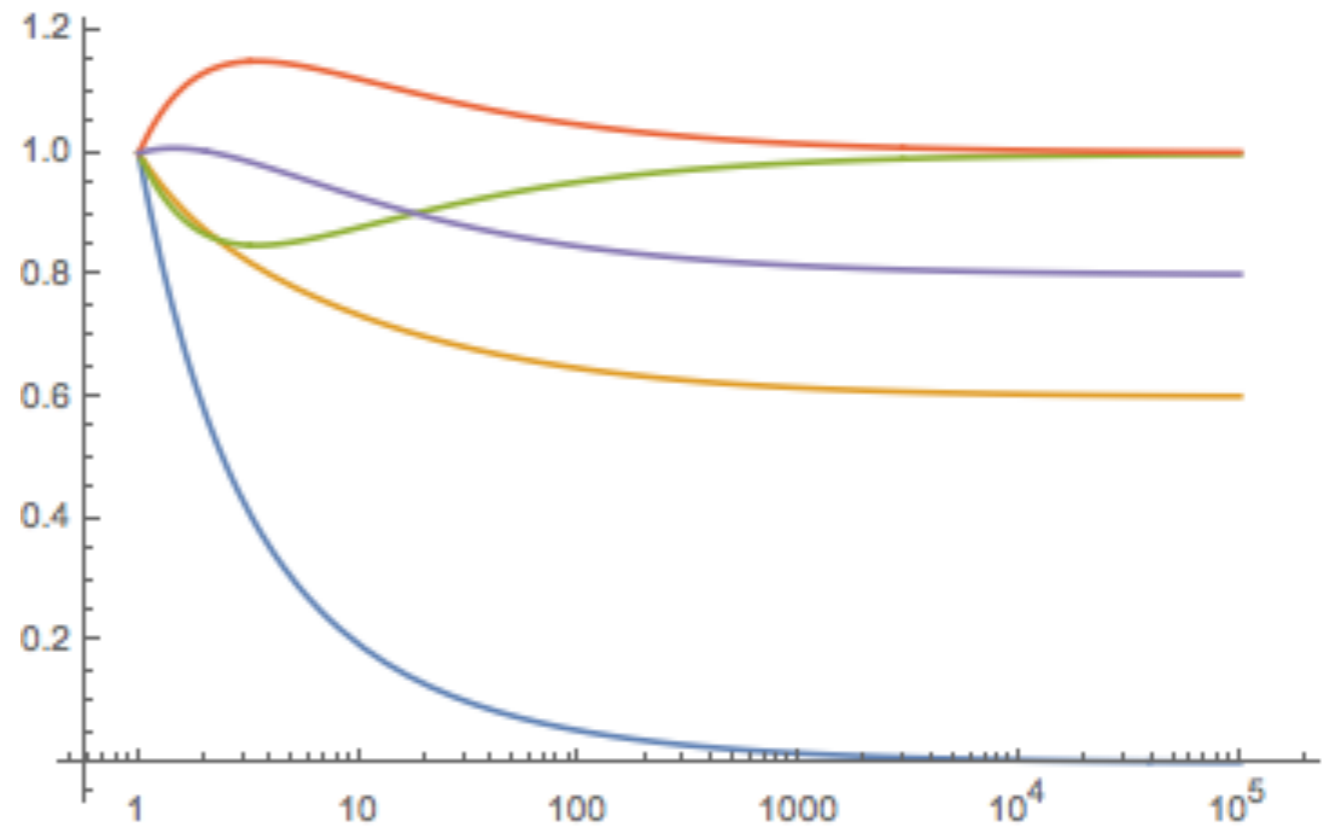
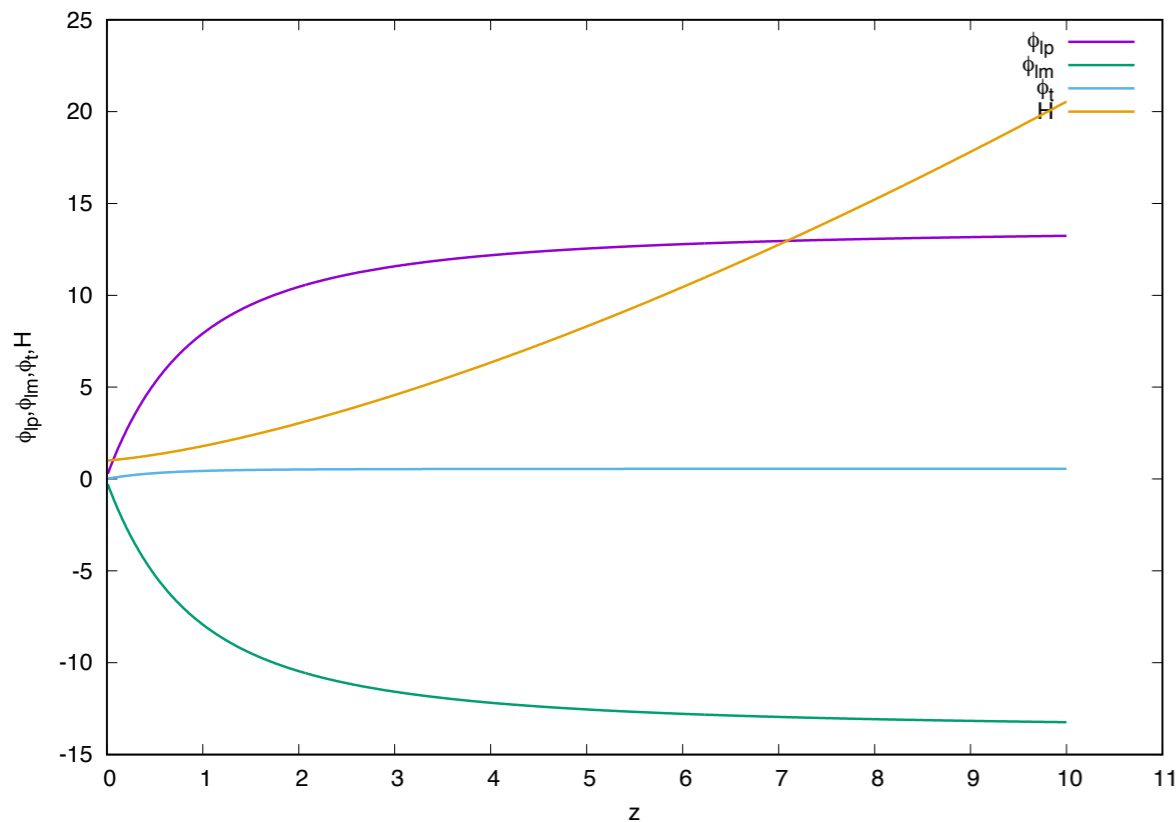
e.g. $V(\phi) = M^4 \left\{ 1 + \cos\left(\frac{\phi}{M}\right) \right\}$



スカラー場の赤方偏移進化

$$\phi(t) = M_\phi \left\{ a_0 + a_1 H_0 t_{LB} + \frac{a_2}{2} (H_0 t_{LB})^2 \right\}$$

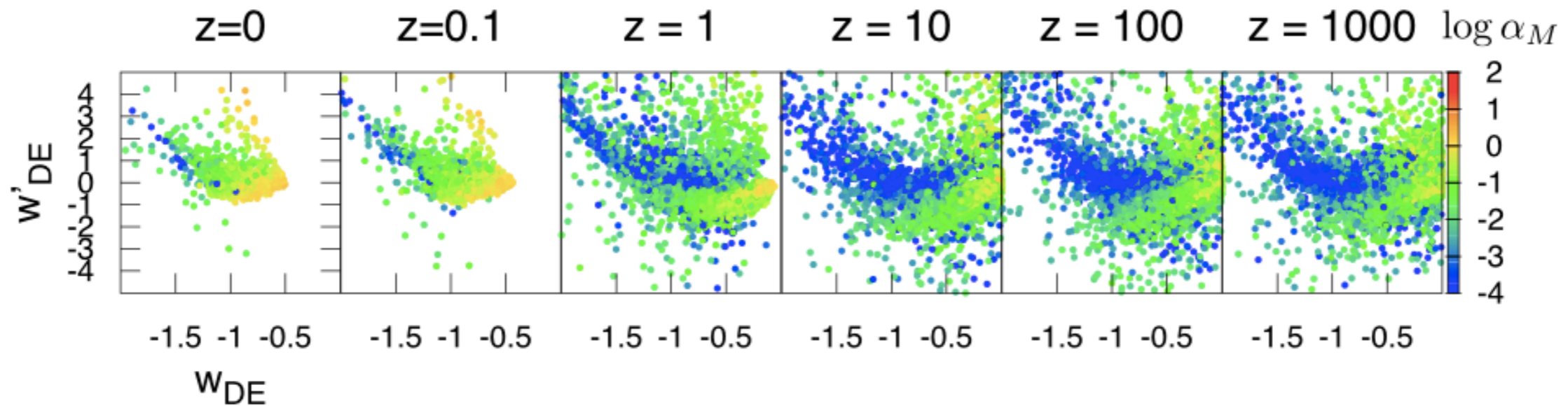
$$\phi(z) = M_\phi \left\{ 1 - b_0 \left(1 - \frac{1}{\sqrt{1+z}} \right) - b_1 \left(1 - \frac{1}{1+z} \right) - b_2 \left(1 - \frac{1}{(1+z)^{3/2}} \right) \right\}$$



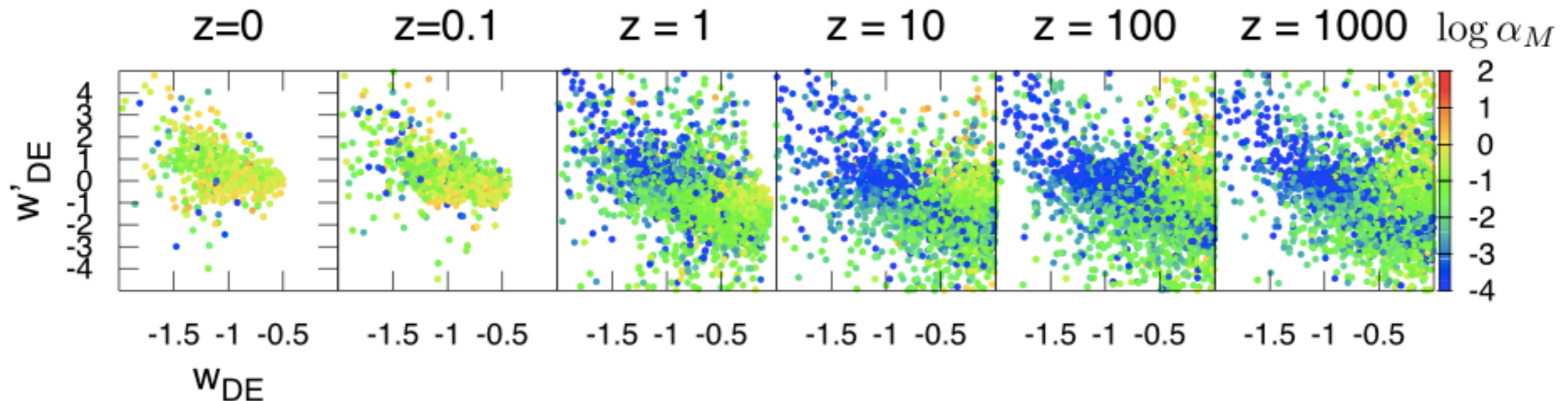
e.g w_{DE} の分布 赤方偏移進化

SA, K. Ichiki, and M. Yamaguchi in progress

$$\mathcal{L} = G_2(\phi, X) + G_4(\phi)R$$

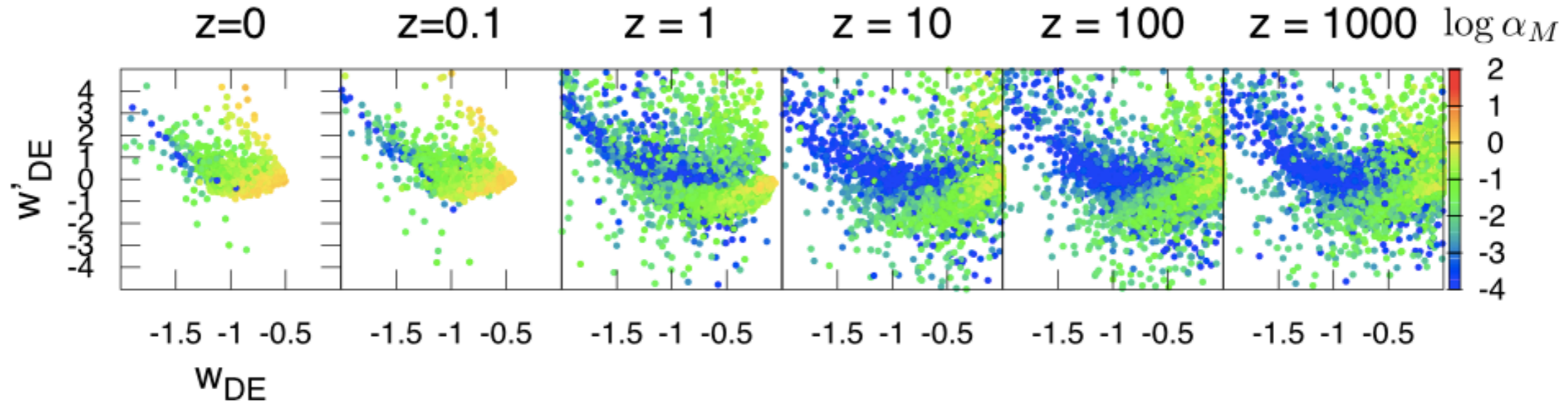


$$\mathcal{L} = G_2(\phi, X) + G_4(\phi, X)R + G_{4X}((\square\phi)^2 - \nabla_\mu \nabla_\nu \phi \nabla^\mu \nabla^\nu \phi)$$



SA, K. Ichiki, and M. Yamaguchi in progress

$$\mathcal{L} = G_2(\phi, X) + G_4(\phi)R$$



$$\mathcal{L} = G_3(\phi, X)\square\phi + G_4(\phi)R$$

